

用格子 Boltzmann 方法模拟高雷诺数下的热空腔黏性流^{*}

吕晓阳

(华南师范大学行政学院, 广州 510631)

李华兵

(桂林电子工业学院基础部, 桂林 541004)

(2000 年 9 月 22 日收到)

对 13 速六方格子 Bhatnagar-Gross-Krook 模型进行改进, 适当地选取弛豫时间 τ 和 k , 使得热流体的切黏滞系数 μ 与热导系数 λ 只与内能有关, 流体的 Prandtl 数可调. 用该模型模拟了高雷诺数下的各种边界空腔流.

关键词: 格子 Boltzmann 方法, Bhatnagar-Gross-Krook 模型, Prandtl 数, 空腔流

PACC: 0540 0357

1 引 言

格子 Boltzmann (LB) 方法已成功地用于对等温流体的模拟研究^[1-3]. 该方法在热流体领域的应用也得到了较广泛的重视^[4-6], 但在大多数热流体模型中, Prandtl 数都取为 0.5. Prandtl 数是表征热传导的贡献与黏性的贡献相对重要性的量度, 因此 Prandtl 数为定值的模型不能模拟许多实际的热流体. 文献 [7] 在平衡分布函数中引入了参数 σ , 使得 Prandtl 数可连续改变, 但在热流矢量中却产生一个非物理项, 为此, 必须限制参数的取值, 从而只许 Prandtl 数在小范围内变化. 文献 [8] 通过在碰撞矩阵中引进一个不为零的可变参数 θ 而引入多弛豫, 也得到了 Prandtl 数任意可选的 LB 模型, 但同时增加了碰撞项的复杂程度. 文献 [9] 采用单弛豫 Bhatnagar-Gross-Krook (BGK) 模型, 在导出 Fourier 热传导定律时引入一个 k , 通过调节该参数, 可获得不同值的 Prandtl 热流体.

本文在文献 [9] 的基础上, 对 13 速六方格子 BGK 模型加以改进, 使得该模型具有单弛豫时间的简单性, Prandtl 数可调及输运系数只与内能有关, 进一步扩展该模型的应用范围.

2 13 速六方格子 BGK 模型的改进

模型如图 1 所示, 单粒子密度分布函数 $f_{p\alpha}(\mathbf{r}, t)$ 满足单弛豫演化方程

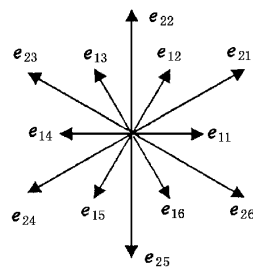


图 1 13 速六方格子

$$f_{p\alpha}(\mathbf{r} + \mathbf{e}_{p\alpha}, t + 1) - f_{p\alpha}(\mathbf{r}, t) = -\frac{1}{\tau}(f_{p\alpha}(\mathbf{r}, t) - f_{p\alpha}^{eq}(\mathbf{r}, t)), \quad (1)$$

式中 $p=0, 1, 2$ 表示速度大小为 $0, 1, \sqrt{3}$, $\alpha=1, 2, 3, 4, 5, 6$ 表示速度方向, 约定 $p=0, \alpha=0$ 时 $e_{00}=0$, τ 为弛豫时间. 粒子密度、动量密度和能量密度按下式计算:

* 国家自然科学基金 (批准号: 19762001) 及广西壮族自治区自然科学基金 (批准号: 20007017) 资助的课题.

$$\rho = \sum_{p\alpha} f_{p\alpha}, \rho \mathbf{u} = \sum_{p\alpha} f_{p\alpha} \mathbf{e}_{p\alpha}, \rho \epsilon = \frac{1}{2} \sum_{p\alpha} f_{p\alpha} (\mathbf{e}_{p\alpha} \cdot \mathbf{u})^2. \quad (2)$$

设局域平衡分布函数具有如下形式:

$$f_{p\alpha}^{eq} = A_p + B_p \mathbf{e}_{p\alpha} \cdot \mathbf{u} + C_p \mathbf{u}^2 + D_p (\mathbf{e}_{p\alpha} \cdot \mathbf{u})^2 + E_p (\mathbf{e}_{p\alpha} \cdot \mathbf{u})^3 + F_p \mathbf{e}_{p\alpha} \cdot \mathbf{u}^3 + O(\mathbf{u}^4), \quad (3)$$

式中各系数的求解及流体的宏观连续方程、动量与能量方程的推导,用到 Chapman-Enskog 多尺度展开技术、质量、动量守恒及伽利略不变性.在由热流矢量 $\mathbf{q}^{(1)}$ 表达式确定 Fourier 热传导定律 $\mathbf{q}^{(1)} = -\lambda \nabla \epsilon$ 过程中,得到

$$A_2 = \frac{1}{18} \rho \epsilon (4\epsilon - 1) + f(\epsilon), \quad (4)$$

$$\lambda = (\tau - \frac{1}{2}) \rho (2\rho \epsilon + 9f'(\epsilon)) \quad (5)$$

及

$$A_1 = \frac{1}{6} \rho \epsilon (3 - 4\epsilon) - 3f(\epsilon),$$

$$A_0 = \rho - \frac{8}{3} \rho \epsilon (1 - \epsilon) + 12f(\epsilon). \quad (6)$$

(3) 式中其他几个系数分别为

$$B_1 = \frac{1}{2} \rho (1 - \frac{4}{3} \epsilon), \quad B_2 = \frac{1}{18} \rho (4\epsilon - 1),$$

$$C_0 = \frac{4}{3} \rho (2\epsilon - 1), \quad C_1 = \frac{1}{3} \rho (\epsilon - \frac{3}{4}),$$

$$C_2 = \frac{1}{18} \rho (\frac{1}{2} - 2\epsilon), \quad D_1 = \rho (1 - 2\epsilon),$$

$$D_2 = \frac{1}{27} \rho (6\epsilon - 1), \quad E_1 = -\frac{2}{9} \rho,$$

$$E_2 = \frac{2}{81} \rho, \quad F_1 = F_2 = 0. \quad (7)$$

同时可导出文献[9]中的流体本构方程、Navier-Stokes 方程和热传导方程.流体的有效压力为 $p = \rho \epsilon$, 黏滞系数 μ 、热传导系数 λ 分别为

$$\mu = \rho \epsilon (\tau - \frac{1}{2}),$$

$$\lambda = (2\rho \epsilon + 9f'(\epsilon)) (\tau - \frac{1}{2}), \quad (8)$$

热流体的 Prandtl 数定义为

$$Pr = \frac{\mu}{\lambda}. \quad (9)$$

自由函数 $f(\epsilon)$ 的选取将从两个方面影响模型的性能,一是改变静止粒子数与运动粒子数的相对比例,二是使得导热系数可调整,从而改变流体的 Prandtl 数.

文献[9]中取 $f(\epsilon) = k\epsilon$, 并对 k 的意义作了较详细的论述,文献[10]利用此模型在 64×64 格子上

模拟了雷诺数 $Re = 3000$ 的空腔流.本文取 $f(\epsilon) = k\epsilon^2$.令 $\tau = \mu_0/\rho + 1/2$, 得 $\mu = \mu_0 \epsilon$, μ_0 为常数,即只要在每一步演化过程中,不同格子的碰撞选取不同的弛豫时间,就可以得到与流体密度无关,只与能量成正比的黏滞系数.而由热导系数 λ 的表达式,可得

$$\lambda = (2\rho + 18k) \epsilon (\tau - 1/2) = \lambda_0 \epsilon,$$

式中 $\lambda_0 = 2\mu_0(1 + 9k/\rho)$, 对于密度变化很小的流体,由于 k 是与密度无关的常数,因此,形式上热传导系数与能量成正比,这与传统的 Maxwell 分子理论一致[11].

由(9)式, Prandtl 数为

$$Pr = \frac{\rho}{2\rho + 18k} \begin{cases} > \frac{1}{2} & -\rho/9 < k < 0, \\ = \frac{1}{2} & k = 0, \\ < \frac{1}{2} & k > 0. \end{cases} \quad (10)$$

影响静止粒子与运动粒子相对比例的三个系数分别为

$$A_0 = \rho - \frac{8}{3} \rho \epsilon (1 - \epsilon) + 12k\epsilon^2,$$

$$A_1 = \frac{1}{6} \rho \epsilon (3 - 4\epsilon) - 3k\epsilon^2,$$

$$A_2 = \frac{1}{18} \rho \epsilon (4\epsilon - 1) + k\epsilon^2. \quad (11)$$

在演化过程中,为使流场静止时粒子的密度分布有意义,要求 $A_0 > 0$, $A_1 > 0$, $A_2 > 0$, 即对初始能量的限制为 $1/4 < \epsilon < 3/4$. 因此与文献[9]相比,本文 $f(\epsilon)$ 的选取,使参数 k 对 A_0 , A_1 , A_2 的作用强度有所降低.根据静止粒子数应满足 $A_0 < \rho$ 条件及(10)式,得到参数 k 的取值范围为

$$-\frac{\rho}{9} < k < \frac{\rho}{9} \cdot \frac{\chi(1-\epsilon)}{\epsilon}. \quad (12)$$

3 空腔流的模拟

3.1 边界条件

采用六方格子模拟矩形空腔流时,水平边界为直线,垂直边界为锯齿形,因此,水平方向把边界定义在链上,垂直方向把边界定义在格点上,边界上的

格点与流体内格点一样经历碰撞与传输两个过程. 边界点在 $t+1$ 时刻的分布函数 f' 与 t 时刻已经历过碰撞的分布函数 f 的关系为:

对于下边界, 分布函数 $f'_{0'}, f'_{11'}, f'_{14'}, f'_{15'}, f'_{16'}, f'_{24'}, f'_{25'}, f'_{26}'$ 可由本层或第一层或第二层格点相同方向的分布函数确定; 其他几个方向的分布函数, 由简单无滑反射条件确定为 $f'_{12}' = f_{15}, f'_{13}' = f_{16}, f'_{21}' = f_{24}, f'_{22}' = f_{25}, f'_{23}' = f_{26}$.

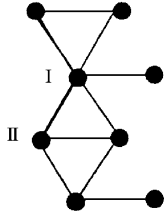


图 2 垂直左边界格子

对于垂直左边界, 边界格点分为 I 与 II 两种情况. 如图 2 所示, 在边界格点 I 上, 由无滑反射条件确定的分布函数为 $f'_{11} = f_{14}, f'_{21} = f_{24}, f'_{26} = f_{23}$. 在边界格点 II 上, 由无滑反射条件确定的分布函数为 $f'_{11} = f_{14}, f'_{12} = f_{15}, f'_{16} = f_{13}, f'_{21} = f_{24}, f'_{22} = f_{25}, f'_{25} = f_{22}, f'_{26} = f_{23}$.

对上边界和垂直右边界作同样的处理.

为使边界格点保持恒温与恒速, 在进行下一步碰撞前, 边界格点强制施加局域平衡条件:

$$f''_{\rho\alpha} = f'_{\rho\alpha}(\rho_B, \epsilon_B, \mathbf{u}_B), \quad (13)$$

式中 $\rho_B = \sum f'_{\rho\alpha} \epsilon_B$ 为边界温度, \mathbf{u}_B 为边界速度, 对于空腔流, 垂直左右边界的 $\mathbf{u}_B = 0$. $f''_{\rho\alpha}$ 即为边界格点下一步参加碰撞的分布函数, 由它将边界影响扩展到整个流场.

3.2 边界类型

根据空腔上下边界速度大小和方向, 存在三种类型的边界, 如图 3 所示.

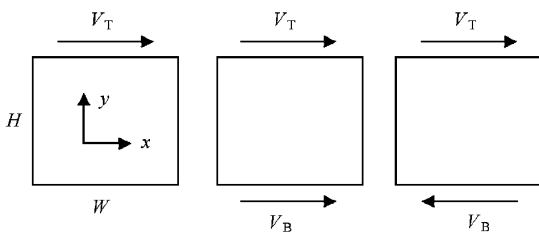


图 3 三种边界类型

空腔的边界温度 ϵ_B 可选择高于、等于或低于腔内的初始温度 ϵ_0 . 雷诺数定义为

$$Re = \frac{\rho V H'}{\mu} \cdot \frac{H}{W}, \quad H' = \frac{\sqrt{3}}{2} H, \quad (14)$$

式中 H 为空腔高度, W 为空腔宽度, 对第一种边界, $V' = |V_T|$, 对第二、三种边界, $V' = (|V_T| + |V_B|) \sqrt{2}$, V_T 和 V_B 分别为上边界和下边界速度.

3.3 模拟结果

图 4 为空腔格子大小为 128×128 , 参数选取为 $\rho = 0.26, Re = 10000, k = -0.15, Pr = 1.04, V_T = 0.05, V_B = 0$, 开始温度、边界温度均为 0.5, 运行 15 万步得到的稳定的流场图. 图 5 为相应的温度分布和压强分布图. 图 6(a)–(c) 为相同参数, 格子大小为 $64 \times 128, Re = 20000$, 运行 30 万步后得到的稳定流场图.

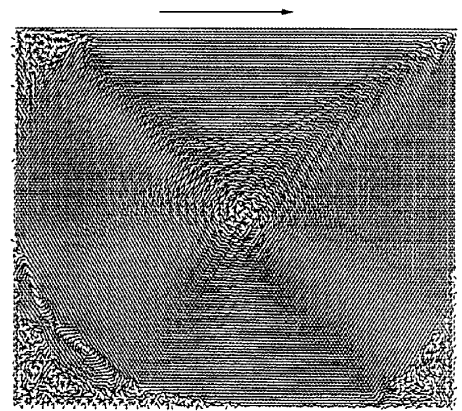


图 4 空腔格子为 128×128 流场图

4 讨 论

本文的模型中, 参数 k 的引入使得局域平衡分布函数的系数 A_p 不再与密度成正比^[12], 这是与文献 [7] 最大的差别, 而可模拟的热流体范围有很大的扩展, 在某些 k 值下, 雷诺数达到很高的值仍可以得到稳定的流场分布. 但是随着 k 的增加, 热流体的稳定性受到很大的影响. 表 1 列出由 (12) 式确定的在 k 值变化范围为 $-0.288 \sim 0.578$ 内, 得到稳定热流体的最大雷诺数的变化情况, 同时还列出相应的静止粒子所占比例数.

由表 1 可以看到, k 接近 $-\rho/9$ 或 $\rho/9 \times 2(1 - \epsilon) \sqrt{\epsilon}$ 时, 要得到稳定的热流体, 雷诺数必须取得很

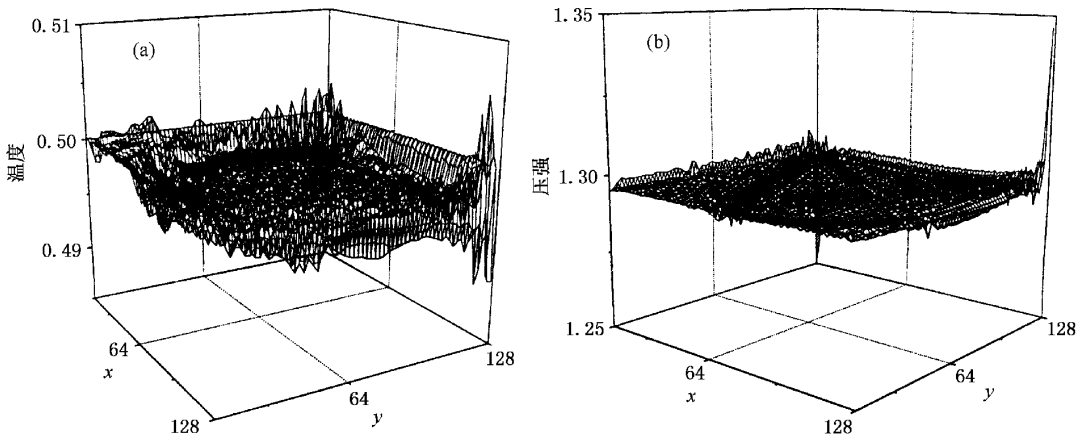


图 5 空腔格子为 128×128 运行 15 万步的温度分布(a)和压强分布(b)图

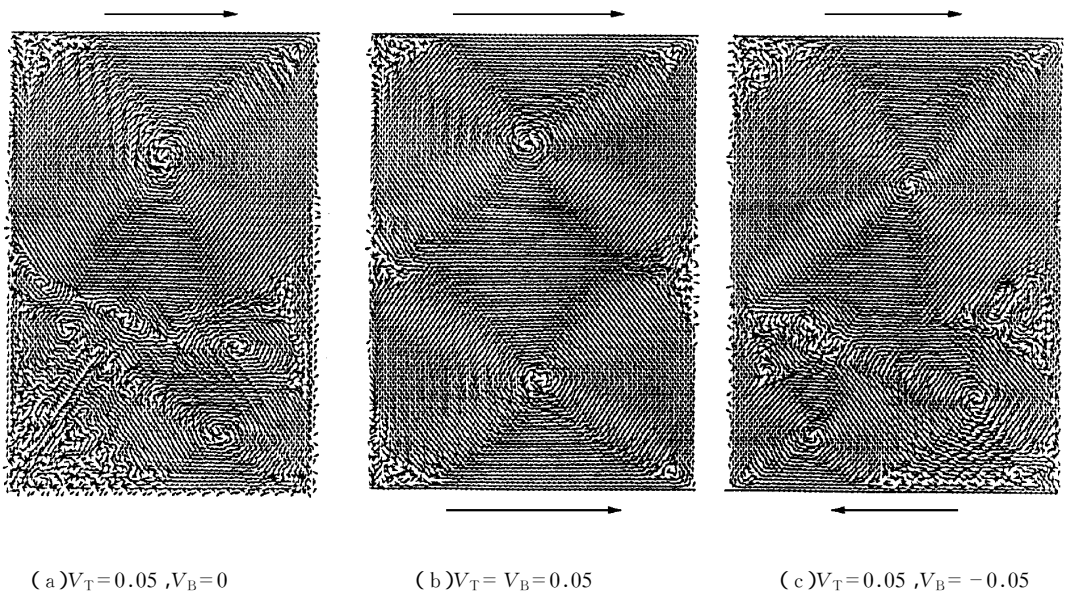


图 6 空腔格子为 64×128 运行 30 万步的流场图

表 1 空腔格子大小为 256×256 , $\nu/\rho = 2.6$, $\epsilon_0 = \epsilon_B = 0.5$, $V_T = 0.05$

k	-0.28	-0.27	-0.26	-0.25	-0.2	-0.18	-0.17	-0.16	-0.15	-0.14
Pr	16.25	7.65	5.0	3.71	1.63	1.33	1.22	1.12	1.04	0.97
$(A_0/\rho) \times 100$	1.0	2.2	3.3	4.5	10.3	12.6	13.7	14.8	16.0	17.2
Re	0	20	288	320	680	1240	2400	12800	28000	24000
k	-0.13	-0.12	-0.11	-0.1	0	0.1	0.2	0.3	0.4	0.5
Pr	0.91	0.86	0.81	0.77	0.5	0.37	0.29	0.25	0.21	0.18
$(A_0/\rho) \times 100$	18.3	19.5	20.6	21.8	33.3	44.9	56.4	67.9	79.5	91.0
Re	12000	4880	2480	1320	128	84	14	6	5.2	3.2

低,尤其在 $-\rho/9$ 附近,还必须减小边界流速,即降低流体的马赫数,才能模拟稳定的热流体,而在 $Pr = 1$ 附近,模拟高雷诺数下的热流体较成功,这说明雷诺数与马赫数都对热流体的行为产生影响.

另外,高雷诺数下模拟出的流场与低雷诺数有较大差别.首先,高雷诺数下要达到稳定的流场需要运行更多的时间步数;其次,流场分布也有较大不同.在图 7 中,取 $Re = 2000$, $k = -0.13$, 运行 2 万步后流场就完全稳定下来,与图 6(a)相比较差异明显,可见,高雷诺数导致多尺度涡旋的形成.

在文献 [9] 中,Prandtl 数与流体的密度和温度有关,本文中 Prandtl 数与流体的密度有关,即都不是与状态参数无关的常数,关于这一问题的解决还需要进一步的探讨.

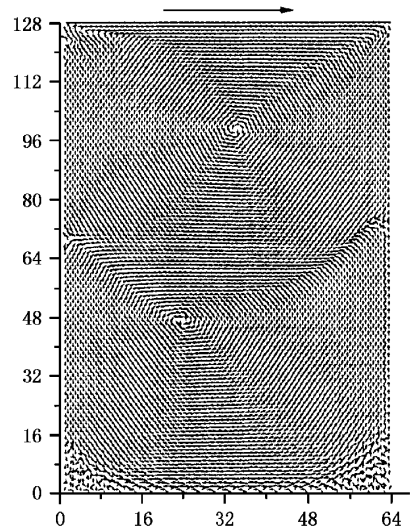


图 7 空腔格子为 64×128 运行 5 万步的流场图
 $V_T = 0.05$, $V_B = 0$, $Re = 2000$

- [1] Y. H. Qian, D. d'Humieres, P. Lallemand, *Euro. Phys. Lett.*, **17** (1992) 479.
- [2] H. Chen, S. Chen, W. H. Matthaeus, *Phys. Rev.*, **A45** (1992), 5339.
- [3] H. P. Fang, Z. F. Lin, R. B. Tao, *Chin. Phys. Lett.*, **14** (1997), 912.
- [4] F. J. Alexander, S. Chen, J. D. Sterling, *Phys. Rev.*, **E47** (1993), R2249.
- [5] Y. Chen, H. Ohashi, M. Akiyama, *J. Stat. Phys.*, **81** (1/2) (1995), 71.
- [6] G. He, K. H. Zhao, *Commun. Theor. Phys.*, **29** (1998) 623.
- [7] Y. Chen, H. Ohashi, M. Akiyama, *Phys. Fluids*, **7** (1995), 2280.
- [8] M. Soe, G. Vahala *et al.*, *Phys. Rev.*, **E57** (1998) A227.
- [9] H. B. Li *et al.*, *Acta Physica Sinica*, **49** (2000), 392 [in Chinese] 李华兵等, *物理学报*, **49** (2000), 392.]
- [10] R. H. Chen *et al.*, *Acta Physica Sinica*, **49** (2000), 631 [in Chinese] 陈若航等, *物理学报*, **49** (2000), 631.]
- [11] L. C. Woods, *An Introduction to the Kinetic Theory of Gasses and Plasma* (Oxford University Press, Oxford, 1993).
- [12] Y. Chen, H. Ohashi, M. Akiyama, *Phys. Rev.*, **E50** (1994), 2776.

SIMULATION OF THERMAL VISCOUS CAVITY FLOW IN HIGH REYNOLD NUMBER BY THE LATTICE BOLTZMANN METHOD^{*}

LÜ XIAO-YANG

(*Public Administration Institute ,South China Normal University ,Guangzhou 510631 ,China*)

LI HUA-BING

(*Basic Department ,Guilin Electronic Industry Institute ,Guilin 541004 ,China*)

(Received 22 September 2000)

ABSTRACT

A modification to the 13-speed lattice Bhatnagar-Gross-Krook model is presented. The single relaxation time τ and the free parameter k are suitably chosen so that the transport coefficients become energy-dependent only and the Prandtl number is tunable. Simulations for various boundary cavities under high Reynold number are presented with the model.

Keywords : lattice Boltzmann method ,Bhatnagar-Gross-Krook model , Prandtl number ,cavity flow

PACC : 0540 , 0357

^{*} Project supported by the National Natural Science Foundation of China(Grant No. 19762001) , and the Natural Science Foundation of Guangxi Zhuang Autonomous Region ,China(Grant No. 20007017).